

## ПОГРАНИЧНЫЕ СОСТОЯНИЯ В ЗОНЕ ПРОВОДИМОСТИ РЕЗКОГО ГЕТЕРОПЕРЕХОДА

Кисин М. В.

Найдены условия возникновения двумерных пограничных состояний в зоне проводимости резкого гетероперехода, содержащего узкощелевой полупроводник. Ограничения на ширину запрещенной зоны узкощелевой компоненты гетеропары сильнее для полупроводников, описываемых моделью Кейна, чем для халькогенидов свинца с дираковским зонным спектром.

Пограничные состояния (ПС) в гетеропереходах (ГП) представляют собой новый тип электронной двумерной системы. ПС предсказаны в запрещенной зоне инверсного ГП [1, 2], а также в валентной зоне ГП между кейновскими полупроводниками с нормальной зонной структурой [3, 4]. Последние состояния, однако, являются резонансными, поскольку попадают на фон зоны тяжелых дырок узкозонного материала. Это затрудняет их экспериментальное исследование. В настоящей работе получены условия возникновения ПС в зоне проводимости резких ГП, содержащих узкощелевой полупроводник.

Наличие резкой гетерограницы вносит сильное возмущение в энергетический спектр носителей заряда. Поскольку разрывы зон  $\Delta_c$ ,  $\Delta_v$  сравнимы с шириной запрещенной зоны узкозонного материала  $\epsilon_g$ , задачу необходимо решать, используя многозонную модель, например модель Диммока [5] для халькогенидов свинца или модель Кейна [6] для полупроводников со структурой цинковой обманки. Упростим задачу, ограничившись в дальнейшем сферическим приближением. Гамильтониан Диммока сводится при этом к известному гамильтониану Дирака. Более того, если проекция импульса  $k_z=0$ , то в базисе  $\{L^+\uparrow; L^-\downarrow; L^+\downarrow; L^+\uparrow\}$  матрица гамильтониана распадается на две независимые субматрицы  $H_\mu^{(D)}$  размерности  $2 \times 2$ , связывающие первое с третьим ( $\mu=-1$ ) и второе с четвертым ( $\mu=+1$ ) базисные состояния:

$$H_\mu^{(D)} = \begin{bmatrix} \epsilon_g & k_\mu \\ k_{-\mu} & 0 \end{bmatrix}, \quad k_\mu = k_x + i\mu k_y. \quad (1)$$

Здесь и далее отсчет энергии ведется от потолка валентной зоны узкощелевого полупроводника, а все величины размерности энергии переведены в размерность волнового вектора делением на межзонный матричный элемент  $P$  (в модели Кейна — на  $\sqrt{2/3} P$ ), который полагается одинаковым в контактирующих материалах. К аналогичному виду можно привести и кейновский гамильтониан размерности  $8 \times 8$ . Первая строка субматрицы  $H_\mu^{(K)}$  размерности  $4 \times 4$  будет иметь вид ( $k_z=0$ )

$$\left[ \epsilon_g, \frac{\sqrt{3}}{2} k_\mu, \frac{1}{2} k_{-\mu}, \frac{1}{\sqrt{2}} k_{-\mu} \right]. \quad (2)$$

Первый столбец, как и в (1), получается эрмитовым сопряжением, при этом  $k_\mu^+ = k_{-\mu}$ . Элемент гамильтониана  $H_{\mu 44}^{(K)} = -\Delta \equiv -\Delta_{so} / \sqrt{2/3} P$  связан со спин-орбитальным расщеплением валентной зоны  $\Delta_{so}$ . Все остальные матричные элементы будем считать равными нулю, пренебрегая тем самым дисперсией тяже-

лых дырок. Последнее упрощение оправдано, поскольку нас интересуют ПС в зоне проводимости.

Свойства симметрии системы позволяют понизить размерность уравнения Шредингера, ограничиваясь решениями только для одной субматрицы гамильтониана. Пусть ось  $y$  направлена вдоль вектора  $K$ . Волновая функция  $\Psi_\mu = \psi_\mu f(x) \exp(iKy)$ , являющаяся решением уравнения Шредингера  $H_\mu \Psi = \varepsilon \Psi$ , имеет следующую матричную структуру (в фигурных скобках перечислены компоненты вектора-столбца  $\psi_\mu$ ):

$$\psi_\mu^{(D)} = (\varepsilon; k_{-\mu}), \quad (3a)$$

$$\psi_\mu^{(K)} = \left\{ \varepsilon; \sqrt{3} k_{-\mu}; \frac{1}{2} k_{-\mu}; \frac{1}{\sqrt{2}} k_\mu \frac{\varepsilon}{\varepsilon + \Delta} \right\}. \quad (3b)$$

Нетрудно убедиться в том, что  $\Psi_{\mu, K}$  и  $\Psi_{-\mu, -K}$  связаны оператором обращения времени  $T$  и образуют Крамеров дублет. Поскольку изменение знака  $K$  должно сопровождаться изменением  $\mu$ , для классификации ветвей спектра ПС удобнее использовать квантовое число, аналогичное спиральности,  $\mu_s = \mu \text{ sign } K$ . Далее пусть  $K > 0$ . Поворачивая систему координат на  $180^\circ$  вокруг оси  $z$ , получим

$$C_{(z)} T \Psi_{\mu, K}(x, y) = \Psi_{-\mu, K}(-x, y). \quad (4)$$

Последнее означает, что если на некотором ГП существует состояние  $\Psi_\mu$ , то на зеркально отраженном переходе должно существовать вырожденное с ним по энергии состояние  $\Psi_{-\mu}$  с тем же двумерным волновым вектором. Суперпозиция таких состояний формирует первый уровень размерного квантования в двойной гетероструктуре [7].

Рассмотрим резкий ГП, в котором узкощелевой полупроводник занимает полупространство  $x > 0$ . Интегрирование уравнения Шредингера через гетерограницу приводит к требованию непрерывности следующих величин:

$$\psi_{\mu 1}, \psi_{\mu 2} \quad (5a)$$

в модели Диммока,

$$\psi_{\mu 1}, \sqrt{3} \psi_{\mu 2} + \psi_{\mu 3} + \sqrt{2} \psi_{\mu 4} \quad (5b)$$

в модели Кейна. Полученные условия удовлетворяют также требованию непрерывности  $x$ -компоненты потока вероятности.

Исследуем спектр ПС, пренебрегая эффектами, связанными с объемным зарядом и электрон-электронным взаимодействием. Влияние нерезкости гетерограницы может быть учтено, как в работе [4]. Существование ПС в рассматриваемых моделях предполагает экспоненциальный спад волновой функции по обе стороны гетерограницы:

$$f(x) = \begin{cases} C_+ \exp(-qx), & x > 0, \\ C_- \exp(Qx), & x < 0. \end{cases} \quad (6)$$

Условия (5a), (5b) с учетом (3a), (3b) и (6) определяют спектр ПС.

В пределе сильного спин-орбитального взаимодействия в модели Кейна и в модели Дирака эти условия записываются сходным образом:

$$C_- \begin{pmatrix} E \\ -i\beta Q - i\mu K \end{pmatrix} = C_+ \begin{pmatrix} \varepsilon \\ i\beta q - i\mu K \end{pmatrix},$$

или

$$\varepsilon(\varepsilon + Q) + \Delta_c(\varepsilon q - \mu K) = 0, \quad (7)$$

где

$$Q^2 = K^2 + E(E_g - E), \quad q^2 = K^2 + \varepsilon(\varepsilon_g - \varepsilon), \quad \tilde{\varepsilon}^{(D)} = 1, \\ \beta^{(K)} = 2, \quad E = \varepsilon + \Delta_v, \quad E_g = \varepsilon_g + \Delta_c + \Delta_s. \quad (8)$$

Анализ уравнений (7), (8) несложен. Его удобно начать с предельного случая  $\varepsilon_g = 0$ , допускающего простое решение и позволяющего получить нагляд-

ную классификацию ветвей спектра ПС. В модели Дирака (рис. 1) существует одна невырожденная ветвь. При  $\Delta_v > \Delta_c$  и  $\mu_s = 1$  ПС находятся в зоне проводимости. При  $\Delta_c > \Delta_v$  и  $\mu_s = -1$  ПС существуют только в валентной зоне. Спектр ПС при малых  $K$  линейный:

$$\varepsilon^2 = K^2 - q^2, \quad q = K |\Delta_c - \Delta_v| / E_g. \quad (9)$$

При  $\Delta_c \rightarrow \Delta_v$  пограничные состояния смыкаются с объемными состояниями узкощелевого полупроводника ( $q \rightarrow 0$ ). В области больших  $K$  спектр ПС ограничен. При

$$K_2 = \frac{E_g \sqrt{\Delta_v \Delta_c}}{|\Delta_c - \Delta_v|}, \quad \varepsilon_2 = \frac{2\Delta_v \Delta_c}{|\Delta_c - \Delta_v|} \quad (10)$$

происходит делокализация ПС путем смыкания с объемным спектром широкозонного полупроводника ( $Q \rightarrow 0$ ). Отметим, что  $\varepsilon_2 > \Delta_c$ .

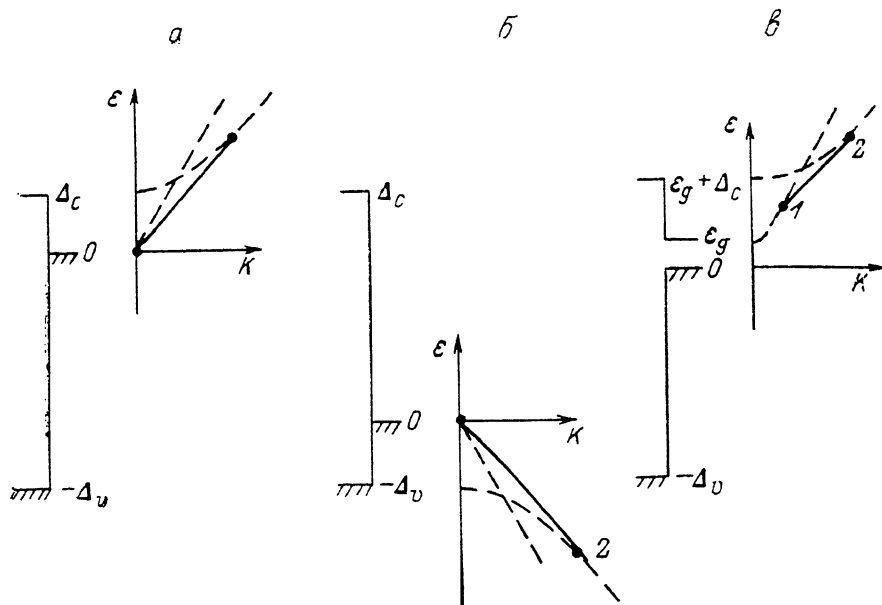


Рис. 1. Пограничные состояния в модели Дирака.

а, б —  $\varepsilon_g = 0$ , в —  $\varepsilon_g > 0$ .

В модели Кейна при  $\varepsilon_g = 0$  и  $\Delta_{so} \rightarrow \infty$  имеется три ветви ПС (рис. 2). Одна из них (с  $\mu_s = 1$ ) при  $\Delta_v > \Delta_c$  лежит в зоне проводимости и начинается с  $K=0$ , если  $\Delta_v > 4\Delta_c$ . Зона ПС при этом лежит ниже объемных состояний с тем же импульсом. При  $\Delta_v > \Delta_c > \Delta_v/4$  ветвь ПС отщепляется от зоны проводимости узкозонного полупроводника в точке

$$K_{1'} = \varepsilon_{1'} = \Delta_v \frac{\Delta_v - \Delta_v/4}{\Delta_c - \Delta_v}, \quad q = 0 \quad (11)$$

и смыкается с зоной проводимости широкозонного полупроводника ( $Q=0$ ) при

$$K_2 = \sqrt{6} E_g \frac{\sqrt{\gamma - 1}}{5 - 3\gamma}, \quad \varepsilon_2 = \frac{2E_g}{5 - 3\gamma}, \quad \gamma = \sqrt{1 + \left(\frac{4\Delta_c}{3\Delta_v}\right)^2}. \quad (12)$$

При  $\Delta_c > \Delta_v$  ветвь ПС переходит в валентную зону с изменением знака  $\mu_s$  (рис. 2, в).

Учет конечной величины  $\varepsilon_g$  приводит к некоторым изменениям в картине спектра. Ветви ПС с  $\mu_s = 1$  в зоне проводимости и с  $\mu_s = -1$  в валентной зоне

теперь всегда берут начало при конечных энергиях  $\varepsilon_1$ , отщепляясь от объемного спектра легких частиц узкозонного полупроводника. В модели Дирака

$$\varepsilon_1^{(D)} = \frac{\varepsilon_g \Delta_v}{\Delta_v - \Delta_c} \cdot \quad (13)$$

В модели Кейна

$$\varepsilon_1^{(K)} = \frac{\Delta_v}{2(\Delta_c - \Delta_v)} \left\{ \left[ \left( \frac{\Delta_v}{4} - \Delta_c - \varepsilon_g \right) \pm \left[ \left( \frac{\Delta_v}{4} - \Delta_c - \varepsilon_g \right)^2 + \varepsilon_g (\Delta_c - \Delta_v) \right]^{1/2} \right] \right\}. \quad (14)$$

Знак плюс относится к точкам  $I'$  (рис. 2), которые находились при ненулевых энергиях (11) и в случае  $\varepsilon_g=0$ .

Из последних выражений можно найти условия возникновения ПС в области разрыва зоны проводимости  $\varepsilon_1 \leq \varepsilon_g + \Delta_c$ . При выполнении этого условия ПС

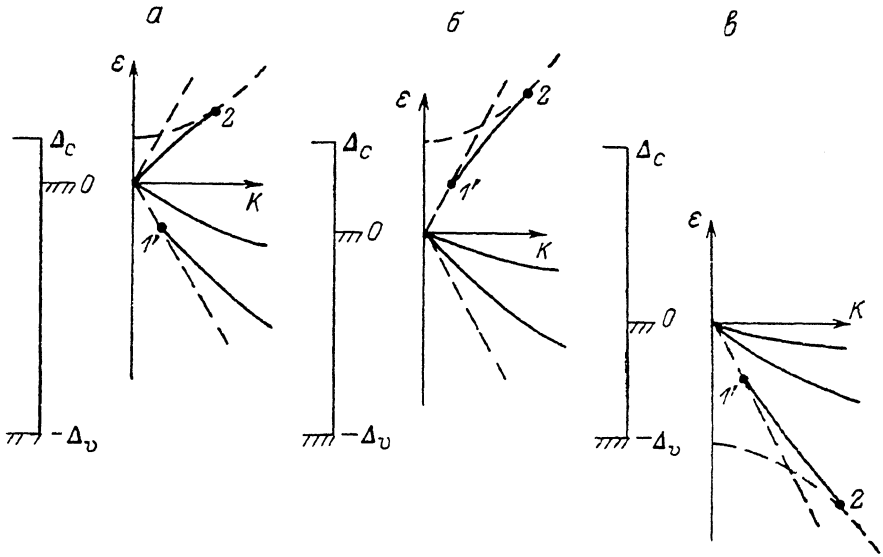


Рис. 2. Пограничные состояния в модели Кейна ( $\varepsilon_g=0$ ).

$a - \Delta_c < \Delta_v/4$ ,  $b - \Delta_v > \Delta_c > \Delta_v/4$ ,  $v - \Delta_c > \Delta_v$ .

могут вносить свой вклад в электронные свойства гетероперехода. Например, участие невырожденных состояний в токопереносе вдоль границы должно приводить к спиновой поляризации электронной подсистемы. Подставляя (13) в (14), получим условия

$$\varepsilon_g + \Delta_c \leq \Delta_v \quad (15a)$$

в модели Дирака,

$$\varepsilon_g + \Delta_c \leq \Delta_v/2 \quad (15b)$$

в модели Кейна.

Из известных в литературе гетеропар наибольший интерес с точки зрения критерия (15a), (15b) представляет пара CdTe—InSb, где ожидается значение  $\Delta_v \sim 1$  эВ [8]. При этом, однако, величина  $\Delta_v$  становится сравнимой со спи-орбитальным расщеплением  $\Delta_{so}$ , и требуется более полный анализ, включающий спи-отщепленную зону. Из (36) и (5a), (5b) нетрудно получить дисперсионное уравнение ПС в модели Кейна с конечной величиной  $\Delta_{so}$ . Не будем приводить это громоздкое выражение, отметим лишь, что с уменьшением  $\Delta_{so}$  условия возникновения ПС в зоне проводимости становятся более жесткими. Это достаточно очевидно, так как полученные нами ветви спектра ПС невырождены, т. е. сильно расщеплены по спину, а при  $\Delta_{so}=0$  дисперсионное уравнение ПС в модели Кейна имеет решения только в валентной зоне [3]. В частности, для гетеропары CdTe—InSb расчет по полному дисперсионному уравнению

с  $\Delta_{s_0} = 0.8$  эВ не дает ПС в зоне проводимости. По-видимому, в настоящее время наиболее реальными объектами для изучения ПС являются ГП на основе халькогенидов свинца или сплавов Bi—Sb. В них в силу зеркальной симметрии спектра ПС существуют либо в зоне проводимости (15а), (15б), либо при  $\epsilon_p + \Delta_p \leq \Delta_c$  в валентной зоне. Отметим, что сильная зависимость спектра ПС от соотношения разрывов зон на гетерогранице дает возможность использовать свойства ПС при определении величин  $\Delta_{c,p}$ .

#### Л и т е р а т у р а

- [1] Волков Б. А., Шапкратов О. А. // Письма ЖЭТФ. 1985. Т. 42. В. 4. С. 145—148.
- [2] Chang Y. C., Schulman J. N., Bastard G., Guldner Y., Voos M. // Phys. Rev. B. 1985. V. 31. N 4. P. 2557—2560.
- [3] Суриц Р. А. // ФТП. 1986. Т. 20. В. 11. С. 2008—2015.
- [4] Сокольский А. В., Суриц Р. А. // ФТП. 1987. Т. 21. В. 5. С. 866—870.
- [5] Dimmock J. O. // J. Phys. Chem. Sol. 1971. V. 32 (Suppl.). N 1. P. 319—330.
- [6] Kane E. O. // J. Phys. Chem. Sol. 1957. V. 1. N 4. P. 249—261.
- [7] Кисин М. В., Петросян В. И. // ФТП. 1988. Т. 22. В. 5. С. 829—833.
- [8] Van de Welle C., Martin R. M. // J. Vac. Sci. Techn. 1987. V. B5. N 4. P. 1225—1228.

Институт радиотехники  
и электроники АН СССР  
Саратовский филиал

Получена 5.07.1988  
Принята к печати 21.09.1988